

УДК 548.732

О ЗАДАЧЕ ДИНАМИЧЕСКОЙ ДИФРАКЦИИ РЕНТГЕНОВСКИХ ЛУЧЕЙ В СХЕМЕ БРЭГГА НА КРИСТАЛЛЕ, В КОТОРОМ ВОЗБУЖДЕНА УЛЬТРАЗВУКОВАЯ ВОЛНА

И. Р. Прудников

(кафедра физики твердого тела)

Рассмотрена задача динамической и рентгеновской дифракции по Брэггу на кристалле, в котором возбуждена ультразвуковая волна. С использованием четырехволнового приближения получено аналитическое решение этой задачи для случая рентгеноакустического резонанса ($k_s \approx \Delta \mathcal{K}_0$, где k_s — волновой вектор ультразвука, $\Delta \mathcal{K}_0$ — минимальное расщепление двухволновой дисперсионной поверхности при дифракции на идеальном кристалле). На основе полученного решения исследована зависимость структуры кривой дифракционного отражения от амплитуды ультразвука.

Введение

В настоящее время имеется целый ряд работ (см., напр., [1, 2], а также монографию [3]), посвященных теоретическому и экспериментальному изучению динамической дифракции рентгеновских лучей (РЛ) в условиях рентгеноакустического резонанса (резонанс имеет место, когда $k_s \approx \Delta \mathcal{K}_0$, где k_s — волновой вектор возбужденной в кристалле ультразвуковой (УЗ) волны, $\Delta \mathcal{K}_0$ — минимальное расщепление двухволновой дисперсионной поверхности, отвечающей дифракции на идеальном кристалле). При этом в подавляющем числе упомянутых работ рассматривается дифракция РЛ в схеме Лауэ [1–3]. Согласно [1, 2], резонанс связан с межзонным рассеянием РЛ, когда перемещаются блоховские волны, которые относятся к центрам распространения, расположенным на разных ветвях дисперсионной поверхности. При определенной геометрии возбуждения УЗ-волны (поперечная УЗ-волна с волновым вектором k_s , направленным параллельно отражающим атомным плоскостям) межзонные переходы имеют место также и в случае дифракции по Брэггу [4]. Однако резонансное рассеяние РЛ в схеме Брэгга исследовалось лишь в работах [4, 5] и изучено недостаточно полно. Так, в [4] проведено численное моделирование кривых дифракционного отражения для малой амплитуды УЗ-волны. В работе [5] методом теории возмущений получены аналитические выражения для амплитуд блоховских волн в кристалле, искаженном УЗ-волной.

В настоящей статье на основе подхода с использованием четырехволнового приближения [6] получено аналитическое решение задачи динамической рентгеновской дифракции по Брэггу в условиях рентгеноакустического резонанса и исследована зависимость углового распределения интенсивности рассеянного излучения от амплитуды УЗ-волны.

Вычисление интенсивности отраженного излучения

Рассмотрим задачу динамической рентгеновской дифракции по Брэггу в симметричной геометрии на кристалле с УЗ-полем смещений $\mathbf{u}(\mathbf{r}, t) = a_0 \sin(\omega_s t) \sin(\mathbf{k}_s, \mathbf{r})$, где ω_s — частота УЗ-колебаний, a_0 — амплитуда стоячей УЗ-волны. Поскольку при дифракции РЛ выполняется условие квазистатичности $v_s \ll v$ (v_s и v — скорости звука и электромаг-

нитной волны соответственно), то при расчетах можно заменить УЗ-поле статическим полем смещений $\mathbf{u}(\mathbf{r}) = \mathbf{a} \sin(\mathbf{k}_s \mathbf{r})$ [2]. Будем считать, что образец, в котором возбуждены УЗ-колебания, представляет собой плоскопараллельную пластину толщиной l . Систему уравнений для медленно меняющихся амплитуд блоховских волн в кристалле получим при помощи стандартного метода [5]. Представим поляризуемость $\chi(\mathbf{r})$ в виде ряда Фурье, а поле в кристалле $\vec{\mathcal{D}}(\mathbf{r})$ в виде разложения по блоховским волнам:

$$\chi(\mathbf{r}) = \sum_{G,m} \chi_m^G \exp\{i \mathbf{G}_m \mathbf{r}\}, \quad \vec{\mathcal{D}}(\mathbf{r}) = \sum_{G,m} \vec{\mathcal{D}}_m^G(z) \exp\{i \mathbf{k}_m^G \mathbf{r}\},$$

где $m=0, \pm 1, \dots$, $\mathbf{G}_m = \mathbf{G} + m\mathbf{k}_s$ — векторы обратной решетки искаженного кристалла; \mathbf{G} — векторы обратной решетки неискаженного кристалла; $\mathbf{k}_m^G = \mathbf{k}^0 + \mathbf{G}_m$ — волновые векторы рассеянных волн; $\mathbf{k}^0 = 2\pi/\lambda$ — волновой вектор падающей на кристалл плоской волны, λ — длина волны излучения; $\chi_m^G = \chi^G(-1)^m J_m(\mathbf{G}\mathbf{a})$, χ^G — фурье-компоненты поляризуемости идеального кристалла, $J_m(\mathbf{G}\mathbf{a})$ — функция Бесселя порядка m ; $\vec{\mathcal{D}}_m^G(z)$ — амплитуды волн, образовавшихся в результате дифракции с испусканием ($m < 0$) или поглощением ($m > 0$) $|m|$ акустических фононов; $\vec{\mathcal{D}}_0^G(z)$ — амплитуды волн, отраженных от атомных плоскостей идеального кристалла; $\vec{\mathcal{D}}_0^0(z)$ — амплитуда преломленной волны; $\vec{\mathcal{D}}_m^0(z)$ — амплитуды волн, образовавшихся в результате динамического перерасеяния дифрагированных волн [7]. Будем полагать, что а) в отсутствие УЗ-колебаний ($\mathbf{a}=0$) имеет место двухволновое рассеяние (в разложении для $\vec{\mathcal{D}}(\mathbf{r})$ индекс $G=0, \mathbf{g}$, где \mathbf{g} — вектор дифракции) и б) падающая на кристалл волна характеризуется σ -поляризацией.

Подставим указанные разложения в волновое уравнение и учтем, что амплитуды $\vec{\mathcal{D}}_m^{0,\mathbf{g}}(z)$ являются медленно меняющимися функциями по сравнению с $\exp\{i \mathbf{k}_m^{0,\mathbf{g}} \mathbf{r}\}$. Тогда для интересующего нас случая ($\mathbf{k}_s \perp \mathbf{g}$, $\mathbf{a} \parallel \mathbf{g}$ — поперечная УЗ-волна, распространяющаяся параллельно входной поверхности образца) получаем систему уравнений

$$\begin{aligned} -i \frac{d\mathcal{D}_m^0}{dz} &= \frac{k^0}{2 \sin \vartheta_0} \left(\chi^0 - \frac{2mk_s \cos \vartheta_0}{k^0} \right) \mathcal{D}_m^0 + \sum_{p=-\infty}^{\infty} \frac{\chi_{m-p}^{-\mathbf{g}} k^0}{2 \sin \vartheta_0} \mathcal{D}_p^{\mathbf{g}}, \\ i \frac{d\mathcal{D}_m^{\mathbf{g}}}{dz} &= \frac{k^0}{2 \sin \vartheta_0} \left(\chi^0 - \alpha - \frac{2mk_s \cos \vartheta_0}{k^0} \right) \mathcal{D}_m^{\mathbf{g}} + \sum_{p=-\infty}^{\infty} \frac{\chi_{m-p}^{\mathbf{g}} k^0}{2 \sin \vartheta_0} \mathcal{D}_p^0, \end{aligned} \quad (1)$$

где $m=0, \pm 1, \dots$; ϑ_0 — не исправленный на преломление угол Брэгга; $\alpha = -2 \sin(2\vartheta_0) \Delta\vartheta$; $\Delta\vartheta = \vartheta - \vartheta_0$ — отстройка; $\chi^0 \equiv \chi_0^0$; ось z лежит в плоскости рассеяния и направлена перпендикулярно входной поверхности ($z=0$) в глубь кристалла.

Решение системы (1) не вызывает трудности, когда $k_s \gg \Delta\mathcal{H}_0$, где $\Delta\mathcal{H}_0 = k^0 |\chi^{\mathbf{g}}| / \cos \vartheta_0$ (высокочастотное акустическое возмущение). При этом в окрестности угла [4]

$$\Delta\vartheta_m = \frac{mk_s}{2k^0 \sin \vartheta_0} + \frac{|\chi^0|}{\sin 2\vartheta_0}, \quad (2)$$

определяющего положение сателлита с номером m , в (1) можно учи-

тывать только амплитуды \mathcal{D}_0^0 и \mathcal{D}_m^g (двухволновое приближение для сателлитов [6, 7]). В резонансном случае, когда $k_s \approx \Delta \mathcal{K}_0$, дифракционная задача становится многоволновой [2, 7]. Для исследования этой задачи в [2, 5] был использован метод теории возмущений (малый параметр — амплитуда УЗ) и было показано, что в первом порядке теории возмущений отличны от нуля амплитуды $\mathcal{D}_{\pm 1}^0$, $\mathcal{D}_{\pm 1}^g$ (рассеяние с поглощением или испусканием одного фонона). Таким образом, в [2, 5] получено решение многоволновой задачи в шестиволновом приближении, а именно учитывались две волны нулевого приближения с амплитудами $\mathcal{D}_0^{0,g}$ и четыре волны первого приближения с амплитудами $\mathcal{D}_{\pm 1}^0$, $\mathcal{D}_{\pm 1}^g$.

При использовании теории возмущений накладывается ограничение на величину амплитуды УЗ-волны a , поскольку в случае достаточных больших значений a поправки, найденные по теории возмущений, становятся большими и итерационные ряды сходятся плохо [8]. Более общим методом решения (1), который не связан в явном виде с требованием малости амплитуды УЗ, является четырехволновое приближение. Этот подход использовался в [6] для изучения дифракции РЛ на УЗ-волне в схеме Лауз. В рамках четырехволнового приближения в [6] учитывались четыре волны с амплитудами $\mathcal{D}_0^{0,g}$, $\mathcal{D}_{\pm 1}^g$ и было показано, что система уравнений для этих амплитуд имеет точное аналитическое решение.

Рассмотрим случай резонансного рассеяния РЛ ($k_s \geq \Delta \mathcal{K}_0$) и используем при исследовании (1) четырехволновое приближение. В области $\Delta\theta > |\chi^0|/\sin 2\theta_0$ будем учитывать амплитуды $\mathcal{D}_0^{0,g}$, $\mathcal{D}_{\pm 1}^g$, а в области $\Delta\theta < |\chi^0|/\sin 2\theta_0$ — амплитуды $\mathcal{D}_0^{0,g}$, $\mathcal{D}_{-1}^{0,g}$ ($\Delta\theta = |\chi^0|/\sin 2\theta_0$ — угол Брэгга, исправленный на преломление). Учет именно этих амплитуд можно объяснить следующим образом. Из (2) следует, что в резонансном случае сателлиты с номерами $m = \pm 1$ расположены вблизи границ основного рефлекса

$$\left(\Delta\theta_{+1} \geq \frac{|\chi^g|}{\sin 2\theta_0} + \frac{|\chi^0|}{\sin 2\theta_0}, \Delta\theta_{-1} \leq -\frac{|\chi^g|}{\sin 2\theta_0} + \frac{|\chi^0|}{\sin 2\theta_0} \right);$$

т. е. имеет место перекрытие максимумов. Поэтому при $\Delta\theta > |\chi^0|/\sin 2\theta_0$ необходимо принимать во внимание волны, отвечающие основному рефлексу (амплитуды $\mathcal{D}_0^{0,g}$), волны, отвечающие первому максимуму (амплитуда \mathcal{D}_1^g), и волну, которая появляется в результате динамического перерасеяния дифрагированной волны (амплитуда \mathcal{D}_1^0). По аналогичной причине в области $\Delta\theta < |\chi^0|/\sin 2\theta_0$ будем учитывать амплитуды $\mathcal{D}_0^{0,g}$, $\mathcal{D}_{-1}^{0,g}$. Рассмотрим сначала область $\Delta\theta > |\chi^0|/\sin 2\theta_0$. Приведем (1) к более симметричному виду при помощи преобразования $\mathcal{D}_0^{0,g}(z) = D_0^{0,g}(z) \exp\{i\varphi z\}$, $\mathcal{D}_1^{0,g}(z) = D_1^{0,g}(z) \exp\{i\varphi z\}$, где $\varphi = k^0 \alpha / (4 \sin \theta_0)$. Поля $D_0^{0,g}(z)$, $D_1^{0,g}(z)$ удовлетворяют уравнениям (для простоты будем считать, что $\chi^{-g} = \chi^g$):

$$\begin{aligned} i \frac{dD_0^{0,g}}{dz} &= \mp A_0 D_0^{0,g} \mp B D_0^{g,0} - C D_1^{g,0}, \\ i \frac{dD_1^{0,g}}{dz} &= \mp A_1 D_1^{0,g} \mp B D_1^{g,0} + C D_0^{g,0}, \end{aligned} \quad (3)$$

где $A_0 = k^0 (2\chi^0 - \alpha) / (4 \sin \theta_0)$, $A_1 = k^0 \left(2\chi^0 - \alpha - 4 \frac{k_s}{k_0} \cos \theta_0 \right) / (4 \sin \theta_0)$,

$B = \chi_0^g k^0 / (2 \sin \vartheta_0)$, $C = \chi_1^g k^0 / (2 \sin \vartheta_0)$. Решение системы линейных дифференциальных уравнений (3) проводится стандартным методом [9]. Характеристическое уравнение, отвечающее (3), является биквадратным:

$$\lambda^4 - 2\lambda^2 (C^2 + \delta - \Delta_+^2) + (C^2 - \Delta_+^2 + \delta^2) (C^2 - \Delta_+^2 + \delta^2) = 0, \quad (4)$$

где $\Delta_{\pm} = A_0 - (k_s \operatorname{ctg} \vartheta_0 / 2)$, $\delta_{\pm} = B \pm (k_s \operatorname{ctg} \vartheta_0 / 2)$, $\delta = B^2 - (k_s \operatorname{ctg} \vartheta_0 / 2)^2$. Из (4) находим собственные значения:

$$\lambda_{1,2} = \pm (C^2 - \Delta_+^2 + \delta + \sqrt{\Delta_+^2 - C^2} k_s \operatorname{ctg} \vartheta_0)^{\frac{1}{2}}, \quad (5)$$

$$\lambda_{3,4} = \pm (C^2 - \Delta_+^2 + \delta - \sqrt{\Delta_+^2 - C^2} k_s \operatorname{ctg} \vartheta_0)^{\frac{1}{2}}.$$

Общее решение системы (3) имеет вид

$$\widehat{D}(z) = \sum_{n=1}^4 \beta_n \widehat{d}_n e^{\lambda_n z},$$

где $\widehat{D}(z) = \begin{pmatrix} D_0^0(z) \\ D_0^g(z) \\ D_1^0(z) \\ D_1^g(z) \end{pmatrix}$ — матрица-столбец амплитуд; \widehat{d}_n — собственный век-

тор, соответствующий собственному значению λ_n ; β_n — постоянные, определяемые из граничных условий. Пусть рассматриваемый кристалл является толстым ($\mu l \gg 1$, где μ — линейный коэффициент поглощения). Тогда в разложении для $\widehat{D}(z)$ следует оставить члены с $n=2, 4$, которые описывают волны, затухающие на бесконечности. Постоянные $\beta_{2,4}$ определяются из граничных условий $D_0^0(0) = 1$, $D_1^0(0) = 0$. В таком случае амплитуды рассеянных волн при $z=0$ определяются выражениями

$$\begin{aligned} D_0^g(0) &= \{2R/(BQ)\} \{\xi - R + i\lambda_2\} \{\xi + R + i\lambda_4\}, \\ D_1^g(0) &= \{-C/Q\} \{2R + i(\lambda_4 - \lambda_2)\}, \end{aligned} \quad (6)$$

где $Q = \Delta_+ (2R + i(\lambda_4 - \lambda_2)) - R(2\xi + i(\lambda_4 + \lambda_2))$, $R = \sqrt{\Delta_+^2 - C^2}$, $\xi = k_s \operatorname{ctg} \vartheta_0 / 2$.

Решение системы уравнений для амплитуд $D_0^{0,g}$, $D_1^{0,g}$ в области $\Delta\vartheta < |\chi^0|/\sin 2\vartheta_0$ совпадает с решением системы (3), если в последнем сделать замены $k_s \rightarrow (-k_s)$, $\chi_1^g \rightarrow (-\chi_1^g)$. Строго говоря, амплитуды $D(z)$, полученные при $\Delta\vartheta > |\chi^0|/\sin 2\vartheta_0$ и при $\Delta\vartheta < |\chi^0|/\sin 2\vartheta_0$, необходимо «сшить» друг с другом в точке $\Delta\vartheta = |\chi^0|/\sin 2\vartheta_0$. Однако в рассматриваемой нами области значений параметров задачи ($k_s \approx \Delta\mathcal{H}_0$, $|ga| \leq 1$) значения этих амплитуд в точке $\Delta\vartheta = |\chi^0|/\sin 2\vartheta_0$ одинаковы.

Сформулируем условие, при выполнении которого в (1) можно отбросить члены с $|m| > 1$, т. е. пренебречь сателлитами высоких порядков. Поскольку угловая ширина $\delta\vartheta_m$ рефлекса с $|m| \geq 1$ равна $\delta\vartheta_m = \delta\vartheta_B \cdot |J_m(ga)|$ [4, 6] ($\delta\vartheta_B = 2|\chi^g|/\sin 2\vartheta_0$ — ширина области полного отражения для неискаженного кристалла), то при выполнении критерия $|J_m(ga)| \ll |J_1(ga)|$ максимумы с $|m| > 1$ являются чрезвычайно узкими и их можно не рассматривать.

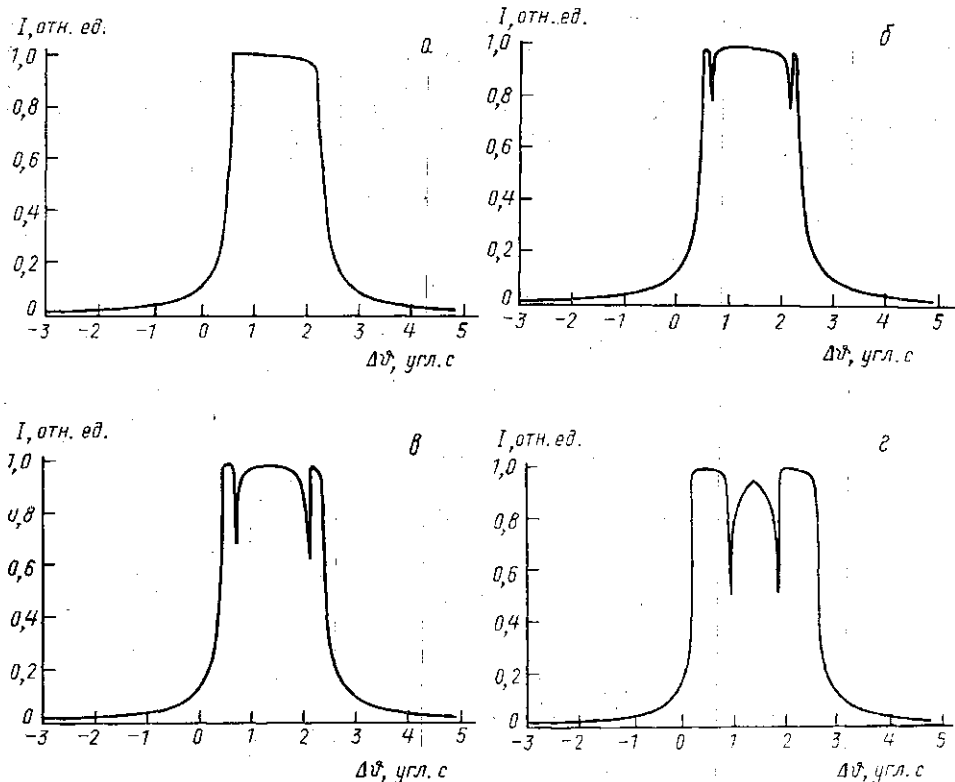
Проанализируем различные предельные случаи. Из (6) следует,

что при $a=0$ (неискаженный кристалл)

$$D_{\pm 1}^g(0) = 0, D_0^g(0) = -(\eta_0 \mp i \sqrt{1 - \eta_0^2}),$$

где η_0 — нормированная угловая отстройка [10]. Последнее выражение для $D_0^g(0)$ совпадает с известным выражением теории рассеяния РЛ на идеальных кристаллах [10]. В случае, когда $k_s \gg \Delta \mathcal{H}_0$ (двухволновое приближение), из (6) находим, что $D_1^g(0) \approx -C/(\Delta_+ \pm \sqrt{\Delta_+^2 - C^2})$, $D_{-1}^g(0) \approx C/(\Delta_- \pm \sqrt{\Delta_-^2 - C^2})$, где знаки выбираются в соответствии с общим правилом, сформулированным в [10], $\Delta_{\pm} = A_0 + (k_s \operatorname{ctg} \theta_0/2)$. Таким образом, если пренебречь фотоэлектрическим поглощением, то при $k_s \gg \Delta \mathcal{H}_0$ в угловых областях, отвечающих спутникам ($|\Delta_{\pm}| \ll |C|$), имеет место полное отражение энергии падающей на кристалл волны. Этот результат согласуется с заключениями, приведенными в [4, 8].

Проанализируем зависимость интенсивности отраженного излучения при резонансном рассеянии ($k_s = \Delta \mathcal{H}_0$) от амплитуды УЗ a . Интенсивность отраженного излучения, усредненная в направлении, параллельном входной поверхности $z=0$, имеет вид $I = |D_0^g(0)|^2 + |D_1^g(0)|^2 + |D_{-1}^g(0)|^2$. На рисунке приведены рассчитанные на основе формул (6) угловые распределения интенсивности I . И использованные при расчетах данные по дифракционному эксперименту взяты из работы [4]. Согласно рисунку, при возбуждении в кристалле УЗ-волны с волновым век-



Кривые дифракционного отражения в резонансном случае: отражение (220) монокристалла Si; излучение $\text{AgK}\alpha$; σ -поляризация; длина УЗ-волны $\lambda_s = 46,8$ мкм; амплитуда УЗ-волны $a=0$ — идеальный кристалл (а); $a=0,05$ А (б); $0,1$ А (в); $0,3$ А (г).

тором, отвечающим условию резонанса, на кривой дифракционного отражения появляются минимумы, причем глубина указанных минимумов возрастает с увеличением амплитуды УЗ. Это связано с тем, что в соответствии с (5) угловая ширина основного рефлекса в четырехволновом приближении описывается выражением

$$\delta\theta_0 = (k^0 \cos \theta_0)^{-1} \cdot \left| \left\{ k_s \operatorname{ctg} \theta_0 - 2 \sqrt{C^2 + \left(\frac{k_s \operatorname{ctg} \theta_0}{2} - |B| \right)^2} \right\} \right|, \quad (7)$$

где $(k_s \operatorname{ctg} \theta_0) \geq 2|B|$, и уменьшается при увеличении амплитуды a от значения $a=0$ до некоторого значения a_1 , определяемого условием $\delta\theta_0=0$. Напротив, угловые ширины сателлитов первого порядка [4] ($\delta\theta_{\pm 1} = \delta\theta_B \cdot |J_1(\mathbf{ga})|$) и их интенсивности при указанном увеличении амплитуды возрастают. Следовательно, рисунок иллюстрирует «появление» сателлитов на фоне гаснущего основного рефлекса.

Рассмотрим изменение ширины основного рефлекса $\delta\theta_0$ в зависимости от амплитуды УЗ в случае резонанса ($k_s = \Delta\mathcal{K}_0$) и при двухволновом рассеянии ($k_s \gg \Delta\mathcal{K}_0$). Если $k_s \gg \Delta\mathcal{K}_0$, то из (7) имеем формулу $\delta\theta_0 \approx \delta\theta_B \cdot |J_0(\mathbf{ga})|$, которая совпадает с выражением, полученным в [6, 7]. Когда $k_s = \Delta\mathcal{K}_0$, выражение (7) приобретает вид $\delta\theta_0 = \delta\theta_B \cdot \left| \left\{ 1 - \sqrt{(J_1(\mathbf{ga}))^2 + (J_0(\mathbf{ga}) - 1)^2} \right\} \right|$. Для малых значений амплитуды УЗ $\delta\theta_0 = \delta\theta_B (1 - |\mathbf{ga}|^2/4)$ при $k_s \gg \Delta\mathcal{K}_0$ и $\delta\theta_0 = \delta\theta_B (1 - |\mathbf{ga}|/2)$ при $k_s = \Delta\mathcal{K}_0$. Таким образом, в случае резонанса ширина нулевого рефлекса гораздо быстрее уменьшается с ростом амплитуды УЗ, чем при двухволновом рассеянии.

В заключение отметим, что приведенные на рисунке кривые качания имеют угловую полуширину, равную $\sim 2''$. Тем не менее они могут быть исследованы экспериментально. Например, в работе [7] кривые дифракционного отражения в условиях резонанса измерены с угловым разрешением $\sim 0,1''$.

ЛИТЕРАТУРА

1. Энтин И. Р. // Письма в ЖЭТФ. 1977. 26, № 5. С. 392.
2. Энтин И. Р. // ЖЭТФ. 1979. 77, № 1(7). С. 214.
3. Даценко Л. И., Молодкин В. Б., Осиновский М. Е. Динамическое рассеяние рентгеновских лучей реальными кристаллами. Киев, 1988.
4. Ассур К. П., Энтин И. Р. // ФТТ. 1982. 24. С. 2122.
5. Polikarov I. V., Skadogov V. V. // Phys. Stat. Sol. (b). 1987. 143. P. 11.
6. Носик В. Л. // Кристаллография. 1991. 36, № 5. С. 1082.
7. Энтин И. Р. Динамические эффекты в акустооптике рентгеновских лучей и тепловых нейтронов: Автореф. дис. ... д-ра физ.-мат. наук. Черноголовка, 1986.
8. Колпачков А. В., Прудников И. Р. Дифракция рентгеновских лучей в сверхрешетках. М., 1992.
9. Тихонов А. Н., Васильева А. Б., Свешников А. Г. Дифференциальные уравнения. М., 1985.
10. Пинскер З. Г. Рентгеновская кристаллооптика. М., 1982.

Поступила в редакцию
19.07.95